

X線回折顕微法における二次元X線検出器

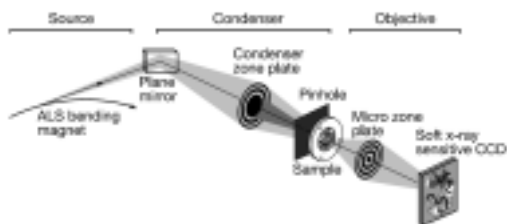
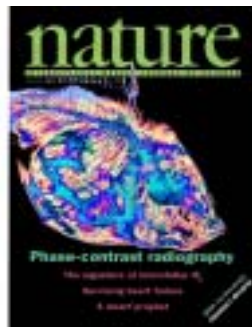
西野 吉則 (SPring-8 / RIKEN)

RCNP研究会 'マイクロパターン検出器の開発と展望'
Jan. 26 - 27, 2006

Yoshinori Nishino



X線を用いた可視化手法(特に、二次元検出器を用いる手法)



吸収コントラストイメージング 位相コントラストイメージング

W.C. Röntgen,
Nature 53, 274-277 (1896)

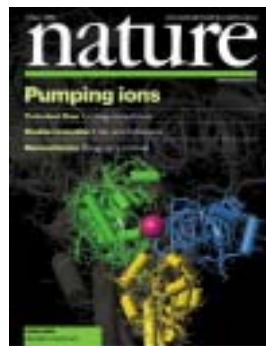
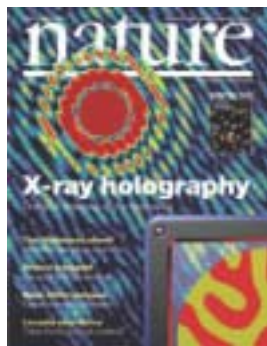
S.W. Wilkins *et al.*,
Nature 384, 335 (1996)

プローブ深さ(非破壊透視)

結像型顕微鏡

W. Chao *et al.*, Nature 435, 1210 (2005)

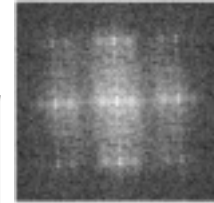
光学(可視光)顕微鏡よりも
高い空間分解能



ホログラフィー

S. Eisebitt *et al.*,
Nature 432, 885 (2004)

位相回復 (散乱の逆問題)



X線結晶構造解析

C. Toyoshima *et al.*,
Nature 405, 647 (2000)

コヒーレントX線の利用

X線回折顕微法

J. Miao *et al.*, Nature 400, 342 (1999).



コヒーレントX線による構造解析

散乱過程は、コヒーレント(弾性)散乱が主要

電子の静止質量エネルギーはX線のエネルギーはよりも大

電子の反跳は無視できる

● 入射ビームがインコヒーレントな場合



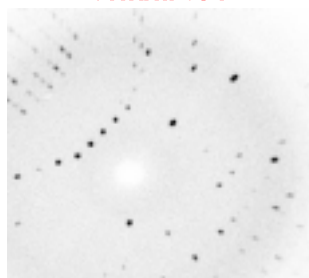
● 入射ビームがコヒーレントな場合



N: the number of targets

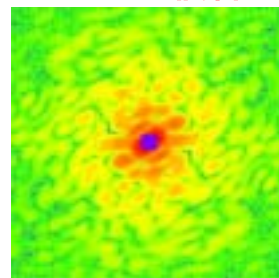
F. van der Veen, F. Pfeiffer, J. Phys: Condens. Matter **16**, 5003 (2004).

結晶試料



規則的な回折点

ランダム試料



スペックル(斑点)

$$I(\mathbf{K}) \propto N$$

散乱強度分布は
試料の平均構造にのみ依存

$$I(\mathbf{K}) \propto |\text{FT}[\rho(r)]|^2$$

散乱強度分布は
試料の構造の違いに敏感

angular size $\sim \frac{\lambda}{a}$ e.g. $\frac{0.1\text{nm}}{1\mu\text{m}} = 100\mu\text{rad}$
of a speckle

X線回折顕微法における
二次元検出器への要請

連続的に分布
コントラストが高い

顕微法の高分解能化

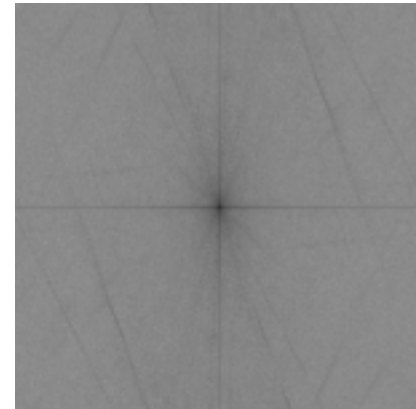
高い空間分解能
広いダイナミックレンジ
高い量子効率
大ピクセル数



Simulation



Original Image



Calculated Diffraction Pattern

Total 2848 x 2048 image 800 x 512 iteration: 0



Iterative Image Reconstruction

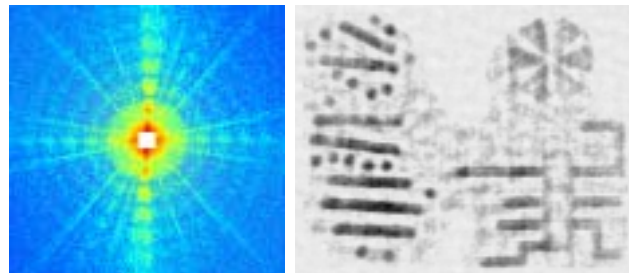


reconstructed image after 5000 iteration



X-ray Diffraction Microscopy Experiment at SPring-8

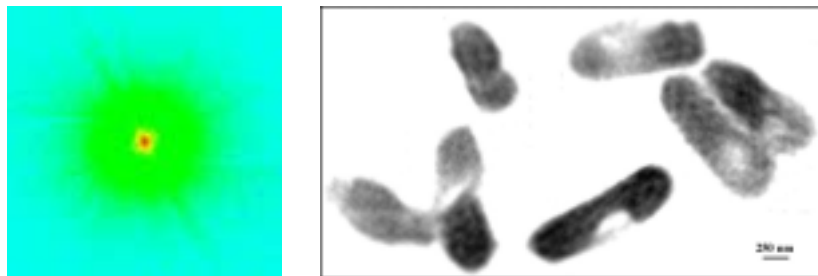
硬X線回折強度パターンのみからの世界初の試料像再生



ナノ構造を持つ金製のパターン試料
($2.5 \mu\text{m} \times 2.0 \mu\text{m}$)

Y. Nishino, J. Miao, and T. Ishikawa,
PRB **68**, 220101(R) (2003).

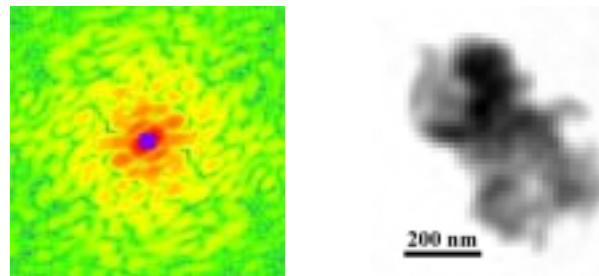
生物試料への世界初の応用



大腸菌

J. Miao, K.O. Hodgson, T. Ishikawa, C.A. Larabell,
M.A. LeGros & Y. Nishino, PNAS **100**, 110 (2003).

材料科学への応用



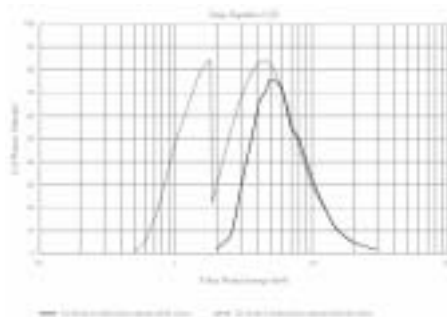
青色発光ダイオードの材料
窒化ガリウム

J. Miao, Y. Nishino, Y. Kohmura, B. Johnson, C. Song,
S.H. Risbud & T. Ishikawa, PRL **95**, 085503 (2005).



Deep-Depletion Direct-Illumination CCD

量子効率が高い Deep-Depletion



空間分解能が高い Direct Illumination

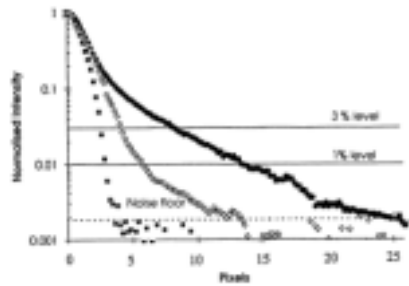
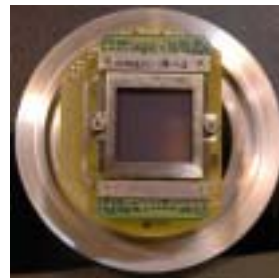


Fig. 2. Point spread fractions for etched and unetched scintillator face-plates. For comparison, the PSF of a direct detection CCD is also shown. Scintillator thickness is 40 μm .

Princeton Instruments
PI-LCX:1300
EEV CCD 36-40 1300 × 1340F



光子数容量が小さい

full potential well ~ 400 ke⁻
5 keV photon creates 1370 e⁻/hole pairs.

読み出し速度が遅い

~ 1.8 s / full ROI @ 1 MHz ADC

大面積化が比較的困難

顕微鏡の高空間分解能化に必須

C.M. Castelli, N.M. Allinson, K.J. Moon, D.L. Watson
NIM A348, 649 (1994)



In-Vacuum Imaging Plate Detector

larger area detector
for higher spatial resolution microscopy

extremely slow in reading (~5 min/full ROI)
and erasing (>2 min)

Imaging Plate (in Vacuum) }
Reader and Eraser (in Air) }

taking data with an imaging plate
while reading & erasing the other



R-AXIS VIII (Rigaku Inc.)

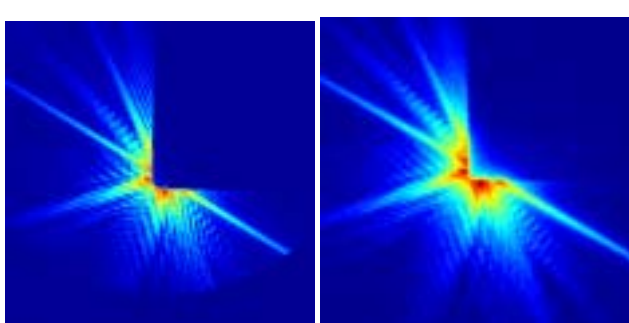
A CCD detector can be mounted downstream of
the IP detector for quick alignment of the sample and optical components.

	R-AXIS VIII	PI-LCX CCD
Total Area	125 mm square	26 mm × 26.8 mm
Pixel Size	25 µm square	20 µm square
Total Pixel	5000 × 5000	1300 × 1340
Photon Capacity	~10 ⁵	~10 ² (direct illumination w/o phosphor)



Evaluation of the Imaging Plate Detector

試料: Pt 単一粒子、粒径 ~ 4 μm
X 線エネルギー = 5 keV

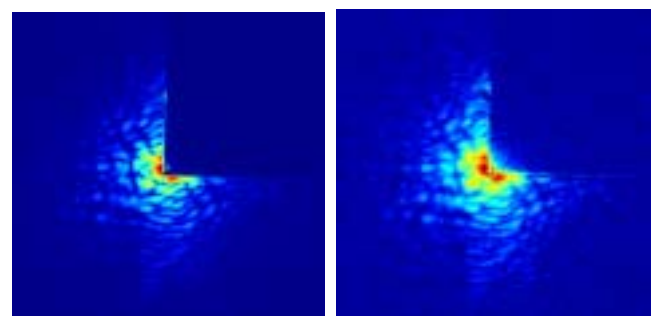


CCD検出器
 1001×1001 pixels
 $0.01 \text{ s} \times 500 = 5 \text{ s}$

IP検出器
 555×555 pixels
 $10 \text{ s} \times 1 = 10 \text{ s}$

IP検出器
 2001×2001 pixels
 $10 \text{ s} \times 1 = 10 \text{ s}$
(左と同じデータ)

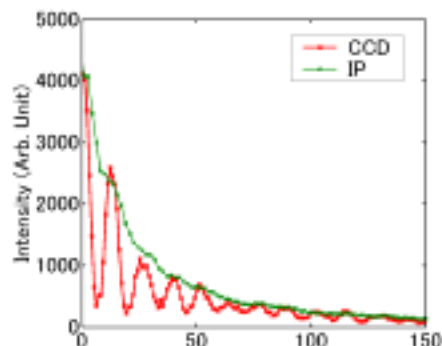
試料: Ge₁₈Te₈₂ 一粒子、粒径 ~ 1.5 μm
X 線エネルギー = 5 keV



CCD検出器
 1001×1001 pixels
 $0.15 \text{ s} \times 500 = 75 \text{ s}$

IP検出器
 555×555 pixels
 $75 \text{ s} \times 1 = 75 \text{ s}$

長く伸びるストリーク上の強度プロファイル



空間分解能が低い

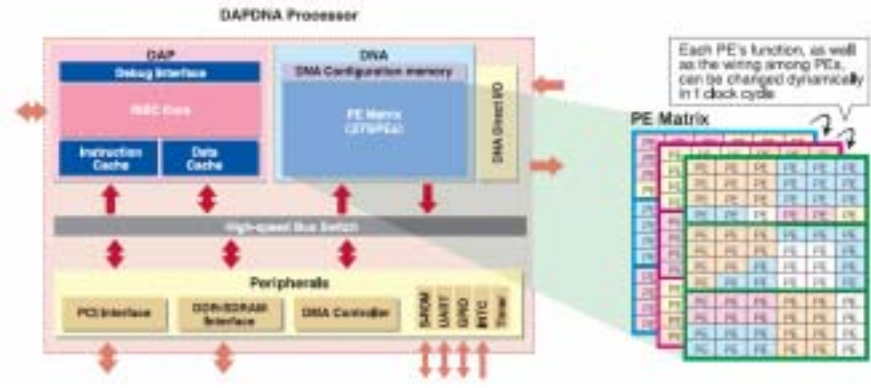
左図: IP位置での強度変動の空間周期
~178 μm (~ 7 pixel)が分解出来ない

量子効率が低い
ノイズが大きい



Dynamic Reconfigurable Processor

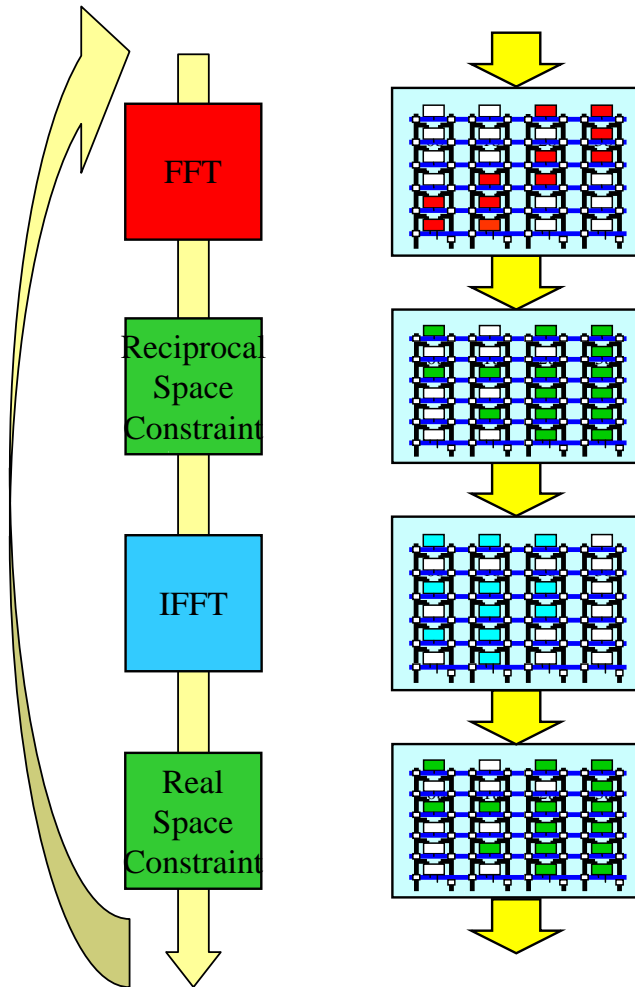
- von Neumann architecture ← most computers
 - ✚ general purpose hardware
 - ✚ application specific software
- ASIC (Application Specific Integrated Circuit)
- FPGA (Field Programmable Gate Array)
 - ✚ static reconfigurable
- Dynamic Reconfigurable Processor



DAPDNA-EB4 (PCI card)
IP FLEX inc.



Image Reconstruction with Dynamic Reconfigurable Processor



reconfiguration in one clock cycle
~ 6 ns with 166 MHz clock frequency

FFT / IFFT
~ 13 times faster
than 3.60 GHz Pentium 4 Processor

It takes 87 sec for 1000 iterations of
 1024×1024 pixel image reconstruction



X線FELでの利用を目指した二次元X線検出器

- Coherent
- Intense
 - ~ 10^{12} photons/pulse
- Short-Pulse
 - sub-pico second pulse duration



試料構造のフェムト秒スナップショット/スナップショットムービー

電荷積分型ピクセル検出器を候補に検討を始める



Collaborators

Experiment at SPring-8 BL29XUL

Yukio Takahashi, Yoshiki Kohmura, Tetsuya Ishikawa (SPring-8/RIKEN)

Jianwei Miao, Changyoung Song (UCLA)

Bart Johnson (SSRL/SLAC)

In-Vacuum Imaging Plate Detector

Yukio Takahashi, Masaki Yamamoto, Tetsuya Ishikawa (SPring-8/RIKEN)

RIGAKU (<http://www.rigaku.co.jp/>)

Dynamic Reconfigurable Processor

Kuniaki Koike, Toshikazu Ebisuzaki (RIKEN)

Tetsuya Ishikawa (SPring-8/RIKEN)

IP FLEX Inc. (<http://www.ipflex.com/>)

X-ray Detector for X-Ray FEL (plan)

Atsushi Taketani, Hideto En'yo, Toshikazu Ebisuzaki, *et al.* (RIKEN)

Hidenori Toyokawa *et al.* (SPring-8/JASRI)

Tetsuya Ishikawa *et al.* (SPring-8/RIKEN)